



**COVID-19 БИЛАН КАСАЛЛАНГАН ЎЗБЕК БЕМОРЛАРИДА,  
КАСАЛЛИКНИНГ ОФИРЛИК ДАРАЖАСИ ВА ГОМОЦИСТЕИН  
КОНЦЕНТРАЦИЯСИГА MTR ГЕНИ rs1805087, MTRR ГЕНИ rs1801394  
ПОЛИМОРФИЗМЛАРИНИНГ БОҒЛИҚЛИГИ**

Иноятова Ф.Х

Курбонова З.Ч

Бабаджанова Ш.А

*Тошкент тиббиёт академияси*

**Абстракт:** SARS-CoV-2 инфекцияси қўзғатган COVID-19 нинг энг оғир асоратларидан бири, гиперкоагулопатия индуцирлаган хаётий мухим органларни ишемик бузилиши хисобланиб, у сабабли COVID-19 билан касалланган bemорларда ногиронлик ва ўлим холатлари қўплаб қузатилмоқда. Шу сабабли, гиперкоагулопатияга сабабчи бўлувчи факторларни чуқур ўрганиш орқали, бу паталогик жараёни ривожланишига мойиллиги бор bemорларни саралаб олиб уларда маҳсус пролифактив ва терапевтик амалиётлар ўтказиш орқали юқорида келтирилган мажрухлик ва ўлим кўрсаткичларини камайтириш мумкин. Гиперкоагулопатияга сабаб бўлувчи faktorлардан бири, бу тромбофил генлар хисобланганMTR ва MTRR генларини полиморфизмлари бўлиб, уларни COVID-19 билан касалланган ўзбек bemорларида ўрганиш, бу генларнинг турли аллеларини шу ўрганилган bemорларда гомоцистеин миқдорига ўзаро боғлиқлиги, хамда COVID-19 патогенезидаги қандай ахамиятга эга эканлигини тушунишга ёрдам бериши мумкин.

**Калит сўзлар:** MTR, MTRR, rs1805087, rs1801394, ёввойи аллел, минор аллел фолат цикли, гипергомоцистеинемия, эндотелиал дисфункция.

### КИРИШ

Коронавирус инфекцияси (COVID-19) бутун дунё бўйлаб тез тарқалган, оғир асоратлар билан кечадиган янги инфекцион касалликdir. 2019 йил декабрида Уханда номаълум инфекция эпидемик ўчоғи кузатилиб, кўп сонли bemорларда пневмония ривожланиши Хитой соғлиқни сақлаш тизимида фавқулодда вазиятни келтириб чиқарди [6]. Хитой касалликларни назорат қилиш ва профилактика маркази bemорларнинг томоқ суртмасидан тайёрланган экмани ўрганиб чиқди ва ушбу ҳолатни янги турдаги бета-коронавируслар келтириб чиқарганлигини тасдиқлади [5]. Янги вирус SARS-CoV-2 (severe acute respiratory syndrome coronavirus) оғир ўткир респиратор синдромкоронавируси деб аталди [7]. Тадқиқотлар шуни кўрсатди, SARS-CoV-2 қон томир эндотелийсидаги ACE2 билан боғланиб, унинг цитопатик таъсири натижасида эндотелиал хужайраларини массив апоптози ва некрозига, шуниндек, COVID-19 патогенезида юзага келган цитокин бўрони индуцирлаган эндотелиал





дисфункция – гиперкоаглопатияга, томирларда тромбофилия ва тромбоз ҳосил бўлишига, қон томир ўтказувчанлиги ошишига, микроциркуляция бузилишига олиб келади. Бу ўзгаришлар эндотелиал дисфункция ҳамда локал ёки тизимли васкулит ривожланишига сабаб бўлади [8, 9]. Хусусан, COVID-19 нинг энг хафвли асоратларидан бири веноз тромбоэмболиядир (ВТЭ). COVID-19 билан касалланган bemорларда узоқ вақт иммобилизация, сувсизланиш, ўткир ялиғланиш жараёни, хамроҳ касалликлардан гипертония, диабет, семизлик ва юрак-қон томир касалликлари бўлиши ВТЭ хафвини оширади [19]. ВТЭ чуқур веналар тромбози (ЧВТ) ва ўпка артерияси тромбоэмболияси (ЎАТЭ) кўринишида, АТЭ эса миокардинфаркти, ишемик инсульт, периферик артериялар тромбози ва эмболияси сифатида бўлади[20].

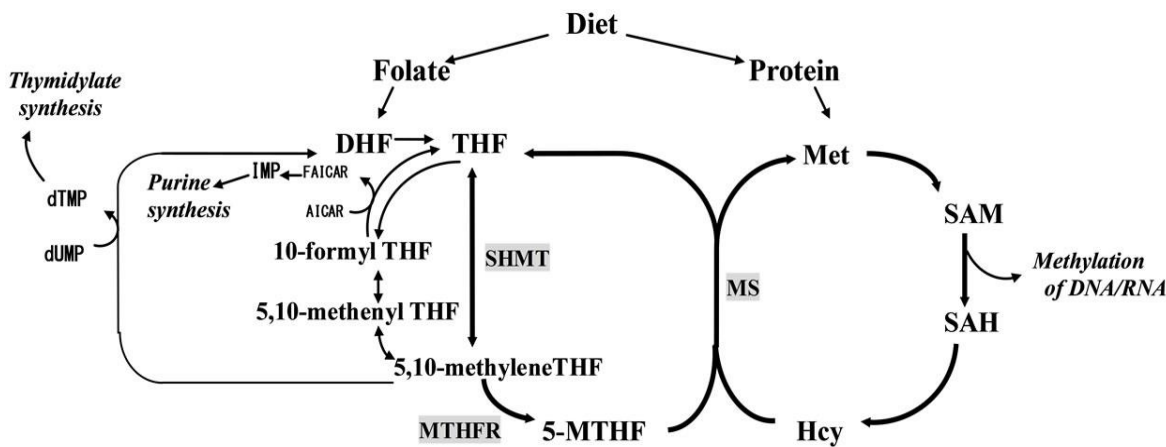
Шу сабабли, гиперкоагулопатияга алоқадар бузилишлар чуқур ўрганиш орқали, биз гипертромбоз кузатилиши мумкин бўлган bemорларни аниқлашимиз ва шу орқали уларда специфик пролифактиқ ва даво чораларини амалга ошириб бу каби оғир асоратлар содир бўлиш эхтимолини камайтиришимиз мумкин. Гиперкоагулопатияга содир бўлиши эхтимолини ошириши мумкин бўлган холатлардан бири бу фолат цикли бузилиши хисобланади.

Фолат кислота организмга алиментар йўл орқали полиглутамат кўринишида тушади ва энтероцитлардаги SLC19A1 ва PCFT транспортерлар орқали сўрилиши учун моноглутаматларга глутамат карбоксипептидаза II (GCPII) ферменти ёрдамида парчаланади. Хужайра ичидаги фолат кислота сақланиши учун қайта деконюгиранади. Хужайра ичидаги фолат полиглутамат кўриниша сақланаётган фолат кислоталари фолат циклига кириши учун қайтарилиб дигидрофолат (DHF) кўринишига ўтиши керак. Сўнг, дигидрофолат яна қайтарилиб тетрагидрофолатга (THF) ўтса (дегидрофолат редуктаза ферменти оқрали NADPH ёрдамида), тетрагидрофолат Серингидроксиметилтрансфераза ферменти ёрдамида 5,10-метилентетрагидрофолат (5, 10-methyleneTHF) трасформацияланади. Ва нихоят, 5, 10-methyleneTHF актив формага – 5-метилтетрагидрофолатга MTHFR (methylenetetrahydrofolate reductase) ферменти ёрдамида айланади. Фолат ва гомоцистеин метаболизмини кейинги босқичлари, 5-метитетрагидрофолат ўз метил гуруҳини (-CH<sub>3</sub>) гомосистеин бериб ундан метионин ҳосил бўлиши билан давом этади. Натижада 5-метитетрагидрофолатнинг ўзи тетрагидрофолатга айланади. Бу жараён - MTP (methionine synthase) ферменти орқали бошқарилади ва B12 бу ҳолатда кофактор сифатида рол ўйнайди. Аммо маълум вақтдан сўнг B12 оксидланиши натижасида MTP инактивацияланаб қолади. Бу ҳолатда MTTP (methionine synthase reductase) ферменти B12 ни яна актив ҳолатга қайтаради. Гомосистеиндан ҳосил бўлган метионин метионинаденозилтрансфераза ферменти орқали S-аденозилметионин (SAM)га айланади. SAM организмда универсал метил гуруҳи донори сифатида, нуклеотидлар синтези, эпигеном





хосил бўлиши ва унинг сақланиши, нейротрансмиттерлар, фосфолипидлар, гормонлар синтезида аҳамиятга эга [1, 2, 3, 4] (1-расмга қаралсин).



1-расм. Фолат ва метионин цикли. DHF = dihydrofolate; THF = tetrahydrofolate; 5-MTHF = 5-methyltetrahydrofolate; 5,10-methyleneTHF = 5,10-methylenetetrahydrofolate; 5,10-methenyl THF = 5,10-methenyltetrahydrofolate; 10-formyl THF = 10-formyltetrahydrofolate; Hcy = homocysteine; Met = methionine; SAM = s-adenosyl methionine; SAH = s-adenosyl homocysteine; dUMP = deoxyuridine monophosphate; dTMP = deoxythymidine monophosphate; AICAR = 5-amino-4-imidazole carboxamide ribonucleotide; FAICAR = 5-formamidoimidazole-4-carboxamide ribonucleotide; IMP = inosine monophosphate; SHMT = serine hydroxymethyltransferase; MTHFR = methylenetetrahydrofolate reductase; MS = methionine synthase [5].

Пархез ёки организмда хазм жараёни бузилиши туфайли ривожланган фолат кислота ва В гурух витаминалари танқислиги, шу жумладан фолат алмашинуви генлари дефекти натижасида ферментлар фаоллигининг камайиши қонда гомоцистеин ошишига олиб келади ва хужайра эпигеномини вАДНК репликацияси бузилиши натижасида айниқса эпителиал регенерация ва гемапоезни бузилишига [15, 16] нейромедиаторлар синтезини камайишига [17], бош мияда токсик моддалар тўпланиши натижасида нейродегенератив, бош мияда нейромедиаторлар синтезини бузилиши сабабли нейropsихологик бузилишларга, ва юрак-қон томир касалликларга [18, 25] сабаб бўлишини мумкин. Шу билан бирга, фолат цикли бузилиши натижасида гомоцистеин реметилланийи бузилади, натижада гомоцистеин юқори концентрацияда қонда тўпланиши мумкин.

Маълумки, гомоцистеин юқори концентрацияда қон томирлар эндотелиал қаватини заарлайди ва коагуляция жараёнини фаоллаштиради. Эндотелий қон томир девори ва циркуляция қилувчи қон орасидаги баръер бўлиб, вазоактив моддалар, медиаторлар ва уларнинг ингибиторларини ишлаб чиқаради. Шу биологик фаол моддалар орқали эндотелий қон томир тонусини бошқаришда асосий аҳамиятга эга. Азот оксиди мазкур моддалардан биридир. У эндотелий томонидан доим ишлаб чиқарилиб туради ва бир нечта ҳимоя функцияларига



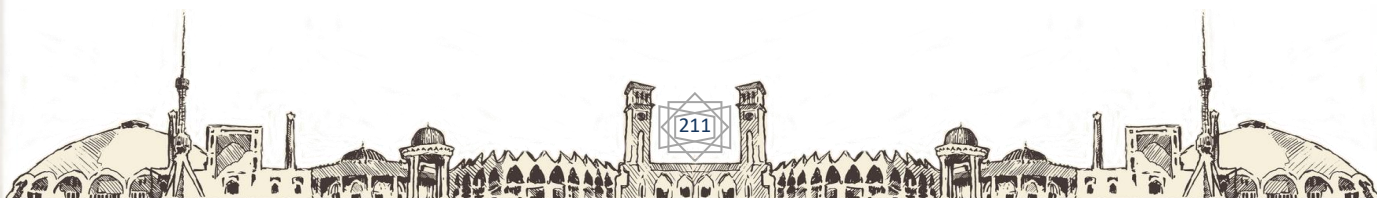


эга, жумладан вазодилатация, силлиқ мушаклар пролиферациясини тормозлаш, тромбоцит ва бошқа қон хужайраларининг агрегациясини камайтириш. Шу билан бирга азот оксида гомоцистеин билан реакцияга киришади ва уни «нейтраллайди». Бироқ гипергомоцистеинемияда нейтраллаш амалга ошмайди. Шуниндек, гомоцистеин кислород радикаллари хосил бўлишини индуцирлайди. Бунинг механизми, гипергомоцистеин натижасида баъзи антиоксидант орхуссан, глутатионпероксидаза, супероксиддисмутаза ва гемоксигеназа-1 фаолиятини ингибирлайди. Бундан ташқари, гипергомоцистеин NADF-оксидазалар фаолиятини оширади, натижада кўплаб эркин оксидатив радикаллар хосил бўлади. Бу эса липидлар эндотелиал синтетазаси фаоллиги камайишига олиб келади. Натижада гипергомоцистеинемия шароитида вазодилатация ва эндотелий ҳимоясининг муҳим омили бўлган азот оксидининг синтези камаяди [19, 20].

Гомоцистеин ошиши хисобига ривожланган оксидант стресси ва эндотелий дисфункцияси натижасида вазоактив модда ҳисобланган простациклин PGI<sub>2</sub> миқдорини камайтиради ва тромбоксан A<sub>2</sub> миқдорини оширади. Иккиси ҳам циклооксигеназа таъсирида арахидон кислотадан синтез бўлади. Тромбоксан тромбоцитлар агрегациясини ошириш орқали тромб ҳосил бўлишини кучайтиради, қон томирларнинг кучли торайишига олиб келади. Простациклин асосан қон томирлар эндотелийсида синтез бўлиб, тромбоксдан фарқ қилган холда қон томир мушакларини бўшаштиради, тромбоцитлар агрегациясини сусайтиради, фибринолизни стимуллайди [20].

Тадқиқотларда келтирилишича, гомоцистеин эластазани фаоллаштиради ва эластин деградацияси натижасида эндотелий мўрт бўлиб қолади, бу эса қон томир деворини деформацияловчи кальций, холестерин ва липидлар деполанишига олиб келади. Шу билан бирга гомоцистеин эндотелина-1 ишлаб чиқарилишини камайтиради. Эндотелин-1 қон томир эндотелийси томонидан синтезланувчи ва 21 та аминокислотадан иборат оқсилдир. У силлиқ мушак хужайралари маҳсус трансмембрана рецепторлари билан боғланиш орқали уларнинг пролиферациясини кучайтиради ва кучли вазоконстриктор таъсирга эга. Нормада эндотелиал хужайралар томир юзасига қон хужайраларининг адгезияси бўлишига қаршилик қилади, антитромботик ва фибринолитик хусусиятларга эга. Гипергомоцистеинемия натижасида эндотелий жароҳатланиши эса тромбоцитлар агрегациясини кучайтиради [21].

Адабиётларда келтирилишича, гомоцистеин плазминоген тўқима активатори фаолиятини бузади, липопротеин ва фибрин бирикишига сабабчи бўлади, натижада фибринолиз сусаяди. Шу билан бирга гомоцистеин юқори концентрацияда табиий антикоагулянтлар бўлган антитромбин III ва протеин фаолиятини бузади, эндотелий нормал антитромботик хусусиятларини ўзгартиради, бу эса V, X ва XII қон ивиш омилларини фаоллаштиради [21].





Бундан ташқари, гомоцистеин нафақат эндотелиал хужайраларга алтерацион таъсир кўрсатади, балки бу хужайраларда гипометилланиш келтириб чиқаргани сабабли уларни регенерациясини бузади. Шунингдек, фолат цикли дефицити натижасида гепатоцитлардан ЗЮЛП (зичлиги юқори липопротеин) продукцияси камаяди, бу эса атеросклероз эхтимолини оширади [22].

**Материал ва методлар.** Илмий тадқиқотда 80 та бемор текширилди ва улар асосий гурухни ташкил этди. COVID-19 клиник белгилари ва касалликни оғирлик даражасидан келиб чиқиб, асосий гурух bemорлари: I гурух – 20 та енгил даражали, II гурух – 26 та ўрта оғир даражали ва III гурух – 34 та оғир даражали гурухларига бўлинди. Беморларни бундай тартибда гурухларга бўлишда, биз Ўзбекистон Республикаси Соғлиқни Сақлаш Вазирлигининг “КОРОНАВИРУС ИНФЕКЦИЯСИ БИЛАН КАСАЛЛАНГАН БЕМОРЛАРНИ ДАВОЛАШ БЎЙЧА ВАҚТИНЧАЛИК ТАВСИЯЛАР”

(<https://ssv.uz/uploads/documentation/823b672dcd7e9a5f0fde55dba1cc18ab.pdf>) номли қўлланманинг 8-тахрирдан фойдаланлик. Гурухларни бу тартибда бўлишимиздан мақсад эса, текшрилаётган ген полиморфизмлари ва касаллик оғирлиги орасида боғлиқлик борлигини аниқлаш бўлди.

Клиник тадқиқотда 80 та коронавирус инфекцияси билан касалланган bemорлар қонида тромбофилия генлари текширилди. Беморлар веноз қонида MTHFR гени A1298C (rs 1801131), C677T (rs 1801133) полиморфизмлари детекция қилишда нуклеотидлар кетма-кетлиги полимераз занжирли реакция ёрдамида DT-Lite 48 амплификаторида, ДНК-технология (Россия) реагентларини қўллаган ҳолда амалга оширилди. Шунингдек, барча гурух bemорлари ва соғлом текшириувчилар плазмасида гомоцистеин миқдори текширилди (ИФА методи орқали “Human” (Германия) реагентида) ва уларнинг генотиплари билан гомоцистеин миқдори орасадиа боғлиқлик текширилди.

**Тадқиқот натижаларни статистик қайта ишлаш.** Харди – Вайнберг мувозанатини ҳисобга олган ҳолда генотиплар учрашини баҳолаш учун ҳамда генотип ва аллеллар тақсимланиш даражасини таққослаш учун  $\chi^2$  мезони қўлланилди. Аллеллар ва генотипларнинг ассоциацияси орқали ўрганилган патологияга мойилликни мавжудлигини тасдиқлаш учун  $\chi^2$  мезони қўлланилган бўлса, аллеллар ва генотиплар ўрганилаётган касалликдаги патогенетик ахамияти нисбий хафви даражаси (RR) ва эхтимоллар нисбати (OR) 95 % ли ишонч интервали (95 % CI:) орқали тасдиқланди.  $p < 0,05$  даражаси статистик аҳамиятли деб қабул қилинди. Маълумотларга статистик ишлов бериш Statistica 6.1 (StatSoft, USA) дастурини қўллаган ҳолда амалга оширилди.

**Натижалар.** Узбек популяциясида олиб борилган тадқиқот натижасига кўра, MTR гени 2756 A>G (rs1805087) полиморфизмининг аллеллари ва генотипларининг тарқалиш частотасини қўйидаги жадвалда келтирилганидек бўлди (1-жадвал).





1-жадвал

**MTR 2756 A>G (rs1805087) гени полиморфизмининг аллеллари ва  
генотипларининг тақсимланиш частотаси**

Гуру хлар	Аллеллар частотаси				Генотиплар частотаси				тақсимланиш	
	A		G		A / A		A / G		G / G	
	n	%	n	%	n	%	n	%	n	%
Асосий гурух, (n = 80)	136	85	24	15	59	73,75	18	22,5	3	3,75
1- гурух, (n = 20)	39	97,5	1	2,5	19	95	1	5	0	0
2- гурух, (n = 26)	46	88,46	6	11,54	20	76,92	6	23,08	0	0
3- гурух, (n = 34)	51	75	17	25	20	58,82	11	32,35	3	8,82
Назо рат гурухи, (n = 20)	38	95	2	5	18	90	2	10	0	0

MTR гени rs1805087 полиморфизмининг генотиплар тақсимланиши бўйича олинган кўрсаткичлар, Харди-Вайнберг қонуни асосида текширди ва натижалар келтирилган қонун асосида чиқарилган натижаларга нисбатан сезиларли оғиш кузатилмади ( $\chi^2 < 3,84$ ; P > 0,05) (2-жадвал).

2-жадвал

**MTR гени rs1805087 полиморфизмининг эмпирик - кузатилган  
натижалар Харди-Вайнберг қонуни орқали хисобланган назарий - кутилган  
натижаларга ўзаро солиштирмаси.**

Асосий гурух		Генотиплар тақсимланиши				$\chi^2$	p	df
Аллеллар		Кузатила ётган		Кутила ётган				
A		Генотиплар тақсимланиши						
G								
Генотиплар								
		Кузатила ётган		Кутила ётган				
A/A		0,7375		0,7225				





A/G	0,225	0,255				
G/G	0,0375	0,0225				
Умумий	1	1	1,1	7	0,5	1
Назорат гурухи						
Аллеллар	Аллелар тақсимланиши					
A	0,95					
G	0,05					
Генотиплар	Генотиплар тақсимланиши			$\chi^2$	p	df
	Кузатила ётган	Кутила ётган				
A/A	0,90	0,905				
A/G	0,1	0,095				
G/G	0,0	0,0				
Умумий	1	1	0,05	0,97	1	

Бошқа томондан, турли гурухдаги MTR гени 2756 A>G (rs1805087) полиморфизмини ахамияти текширилганиде, Енгил даражали КИ ривожланиш патогенезидаминар аллели ва гетерозигот генотипи орасида мусбат боғлиқликмавжудлиги тасдиқланмади. A, Галлеллар ва A/A, A/G, G/G генотиплар частотаси мос равишда қўйидагича бўлди: 97,5%, 2,5% ва 95%, 5%, 0%. Аллел ва генотипларининг тарқалиш частотаси фарқлари таҳлил қилинганда, КИ енгил кечиши ва турли генотиплар орасида, хусусан гетерозигот A/G ва гомозигот A/A генотипларси учраши орасида ишончли боғлиқлик аниқланмади - $\chi^2=0,4$ ; P=0,6. (3-жадвал).

3-жадвал

**Енгил даражали COVID-19 ривожанишида MTR гени 2756 A>G (rs1805087) полиморфизмининг турли аллелари ва генотипларини  
ахамияти.**

Аллел ва геноти п-лар	Аллеллар ва генотиплар сони				$\chi^2$	p	R R	95%CI	OR	95%CI						
	1- гурух		Наз орат гурухи													
	n	%	N	%												
A	39	97,5	38	95,0	0,3	p = 0,6	1,0	0,04 - 24,33	- 2,1	0,19 - 22,52						
G	1	2,5	2	5,0	0,3	p = 0,6	1,0	0,19 - 4,97	,5	0,04 - 5,34						
A/A	19	95,0	18	90,0	0,4	p = 0,4	1,0	0,04 - 2,1	0,18 -							





					0,6	1	25,79		24,21
A / G	1	5,0	2	10,0	0,4 0,6	p = 0, 5	0,02 12,22	- 0,5	0,04 - 5,43

Ўрта оғир даражали КИда A, Галлеллар ва A/A, A/G, G/G генотиплар частотаси мос равища қўйидагича бўлди: 88,46%, 11,54% ва 76,92%, 23,08%, 0%. MTR гени 2756 A>G (rs1805087) полиморфизмининг ўрта оғир даражадаги COVID-19 хасталигида ахамияти тахлил қилинганида, гарчи ёввойи гомозигот A/A генотипининг протектив (OR=0,4; 95% CI: 0,07-1,98), гетерозигот генотипини эса индуцирлови таъсири мавжудлиги (OR=2,7; 95% CI: 0,5-14,6) аниқланган бўлсада, бу натижалар статистик ахамиятсиз деб топилди ( $\chi^2=1,3$ ; P=0,3) (4-жадвал).

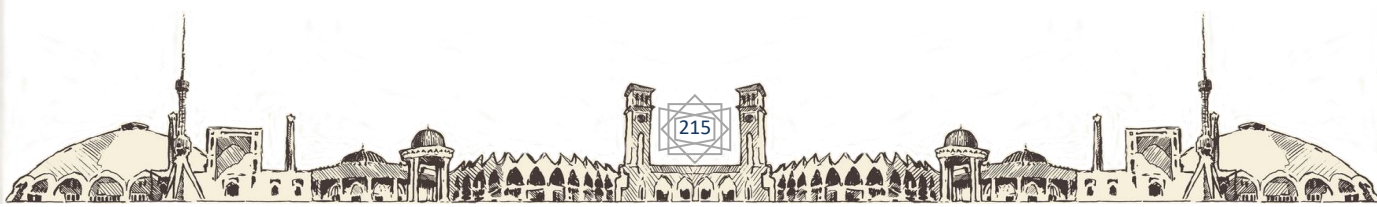
#### 4-жадвал

### Ўрта оғир даражали COVID-19 ривожланишида MTR гени 2756 A>G (rs1805087) полиморфизмининг турли аллелари ва генотипларини ахамияти.

Аллел ва генотип-лар	Аллеллар ва генотиплар сони				$\chi^2$	P	R R	95%CI	OR	95%CI						
	2-гурух		Назорат гуруҳи													
	N	%	n	%												
A	46	8,5	8	95,0	1,2	p = 0,3	,9	0,39 - 2,23	0,4	0,08 - 2,02						
G	6	1,5		5,0	1,2	p = 0,3	,1	0,1 - 11,8	2,5	0,49 - 12,43						
A / A	20	6,9	8	90,0	1,3	p = 0,3	,9	0,32 - 2,28	0,4	0,07 - 1,98						
A / G	6	23,1	2	10,0	1,3	p = 0,3	,3	0,86 - 6,16	2,7	0,5 - 14,46						

Бошқа томондан, оғир формадаги COVID-19 ривожланишида A, Галлеллар ва A/A, A/G, G/G генотиплар частотаси мос равища қўйидагича бўлди: 75%, 25% ва 58,82%, 32,35%, 8,82%. Бу гурух bemorlariда, мазкур ген полиморфизми аллел ва генотипларининг оғир формали COVID-19 ривожланишида ахамияти тахлил қилинганида, COVID-19 оғир кечиши ва гетерозигот A/G генотипи учраши орасида статистик ишончли боғлиқлик аниқланмаган бўлса:  $\chi^2=3,4$ ; P=0,1; OR=4,3, 95% CI 0,92-20,12, A/A гомозигот генотипли – ёввойи формаси оғир даражали COVID-19 ривожланишида химоявий ахамияти (OR=0,2; 95%CI: 0,04-0,7) мавжудлиги аниқланди ва бу натижа статистик ишончлилиги тасдиқланди ( $\chi^2=5,9$ ; P=0,025) (5-жадвал).

#### 5-жадвал





**Оғир формадагиCOVID-19 ривожланишида MTR гени 2756 A>G (rs1805087) полиморфизмининг турли аллелари ва генотипларини ахамияти.**

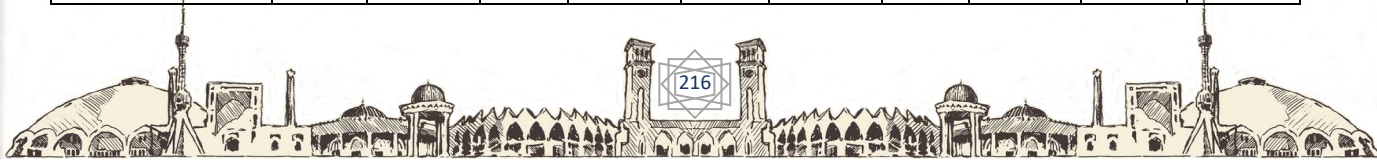
Аллел ва генотип -лар	Аллеллар ва генотиплар сони				$\chi^2$	P	R R	95% CI	OR	95%CI						
	3-гурух		Назорат гуруҳи													
	N	%	n	%												
A	1	5,0	8	95,0	6,9	p=0,0	0,1	0,5 - 1,26	0,2	0,04 - 0,62						
G	7	5,0	2	5,0	6,9	p=0,0	1	0,09 - 17,26	6,3	1,61 - 24,98						
A / A	0	8,8	18	0,0	,9	p=0,0	0,25	0,33 - 1,31	0,2	0,04 - 0,7						
A / G	11	32,4	2	10,0	3,4	p =0,1	2	1,61 - 6,51	4,3	0,92 - 20,12						

Шуниндек, бизнинг тадқиқот орқали текширилган иккинчи тромб菲尔 гени – MTRR 66 A>G (rs1801394) полиморфизмининг аллеллари ва генотипларининг тарқалиш частотасини ўрганиш шуни қўрсатди, 1-гуруҳда 2 та (10%) bemorda гетерозигот A/G генотипи, 2-гуруҳда 16 та (61,54%) bemorda гетерозигот A/G мутация, 3-гуруҳда 9 та (26,47%) bemorda гетерозигот A/G мутациява 23 та (67,65%) bemorda G/G гомозигот ноёввойи генотип аниқланди (6-жадвалга каранг).

#### 6-жадвал

**MTRRгени 66 A>G (rs1801394) полиморфизмининг аллеллари ва генотипларининг тақсимланиш частотаси**

Гурухлар	Аллеллар частотаси				Генотиплар тақсимланиш частотаси					
	A		G		A / A		A / G		G / G	
	n	%	n	%	n	%	n	%	n	%
Асосий гурух, (n = 80)	7	4,38	53	5,63	40	7,5	37	3,75	33	2,875
1-гурух, (n = 20)	8	5	9		58	0	90	0	10	0
2-гурух, (n = 26)	6	9,23	6	0,77	30	8,46	36	1,54	60	0





3- гурух, (n = 34)	3	9,12	1 5	0,88	8	,88	5	6,47	2 3	2 3	6 7,65
Назора т гурухи, (n = 20)	6	0	9	0	1 7	5	8	0	1 1	1 1	5

MTRR A66G (rs1801394) полиморфизмининг генотиплар тақсимланиши бўйича олинган қўрсаткичлар, Харди-Вайнберг қонуни асосида текширди. Асосий гурухда, олинган натижалар қўрсаткичлари Харди-Вайнберг қонуни асосида хисобланган натижаларга нисбатан оғиш қузатилди ( $\chi^2=8,1$ ; P<0,05) (7-жадвал). Кузатилган оғиши сабаби, КИ билан кассалangan ва COVID-19 турли оғирликдаги даражасини ўтказган bemorlar гурухи, турли хил натижалар қўрсатиши билан боғлиқ бўлиб, кичик гурухларда олинган натижалар алоҳида Хардий-Вайнберг тенгламаси орқали текширилганда уларда статистик ахамиятли оғиш қузатилмади ( $\chi^2<3,84$ ; P>0,05). Бошқа томондан назорат гурухида аниқланган қўрсаткичларда оғиш қузатилган бўлсада, у статистик ахамиятсиз топилди (P>0,05).

7-жадвал

**MTRR A66G (rs1801394) полиморфизмининг эмпирик - қузатилган натижалар Харди-Вайнберг қонуни орқали хисобланган назарий - кутилган натижаларга ўзаро солишиштирмаси.**

Асосий гурух		Генотиплар тақсимланиши		$\chi^2$	p	d f
Генотиплар	Кузатила ётган	Кутила ётган				
A/A	0,375	0,30				
A/G	0,3375	0,496				
G/G	0,2875	0,204				
Умумий	1	1	8	0,0 16		1

Назорат гурухи	
Аллеллар	Аллелар тақсимланиши
A	0,90
G	0,10





Генотиплар	Генотиплар тақсимланиши		$\chi^2$	p	d f
	Кузатила ётган	Кутила ётган			
A/A	0,85	0,81			
A/G	0,10	0,18			
G/G	0,05	0,01			
Умумий	1	1	3,9	0,1 4	1

Енгил формадаги COVID-19 ривожланишида келтирилган MTRR гени 66 A>G (rs1801394) полиморфизмининг аҳамияти тасдиқланмади. A, Галлеллар ва A/A, A/G, G/G генотиплар частотаси мос равища қўйидагича бўлди: 95%, 5% ва 90%, 10%, 0%. Олинган натижалар назорат гуруҳидаги мазкур кўрсаткичлардан деярли фарқ қиласмилигини кўрсатди: 90%, 10 ва 85%, 10%, 5%. Аллел ва генотипларининг тарқалиш частотаси фарқлари таҳлил қилинганда, КИ енгил кечиши ва гетерозигот A/G генотипи учраши орасида мусбат боғлиқлик аниқланмади:  $\chi^2=0,6$ ; P=0,99; OR=1,0, 95% CI 0 (8-жадвал).

8-жадвал

**Енгил формадаги COVID-19 ривожланишида MTRR гени 66 A>G (rs1801394) полиморфизмининг турли аллелари ва генотипларини аҳамияти.**

Аллел ва генотипла р	Алел ва генотиплар сони				P 2	R	CI 95%	R CI 95%				
	1- гурух		Наз орат гурухи									
A	8	5,0	6	0,0	,7	p = 0,4	R ,1	CI -10,11				
G		,0		0,0	,7	p = 0,4	R ,9	CI - 3,15				
A /A	8	0,0	7	5,0	,2	p = 0,7	R ,1	CI - 9,52				
A /G		0,0		0,0	,0	p =0,99	R ,0	CI - 7,57				

Ўрта оғир формадаги COVID-19 да A, Галлеллар ва A/A, A/G, G/G генотиплар частотаси мос равища қўйидагича бўлди: 69,23%, 30,77% ва 38,46%, 61,54%, 0%. Шу билан бирга, енгил ва ўрта оғир даражали COVID-19 да мутант гомозигот G/G генотип аниқланмади. MTRR гени 5p15.31 66 A>G (rs1801394)





полиморфизминаллел ва генотипларининг тарқалиш частотаси фарқлари таҳлил қилинганда, КИ ўрта оғир кечиши ва гетерозигот A/G генотипи учраши орасида кучли мусбат боғлиқлик мавжуд деб топилди ва гетерозигот генотипи КИ ўрта оғир ўтиш хавфиини оширишда мусбат таъсири мавжудлигианиқланди ( $OR=14,4$ , 95% CI 3,3-62,78,  $\chi^2=12,6$ ;  $P=0,01$ ). Бошқа томондан, гомозигот нормал A/A генотипи КИни ўрта оғир формаси ривожланишида статистик ишонарли, химоявий роли мавжудлиги татбиқ этилди ( $OR=0,1$ , 95% CI 0,03-0,43,  $\chi^2=10,1$ ;  $P=0,01$ )(9-жадвал).

9-жадвал

**Ўрта оғир даражали COVID-19 ривожланишида MTRR гени 66 A>G (rs1801394) полиморфизмининг турли аллелари ва генотипларини ахамияти.**

Аллел ва гено-типлар	Алел ва генотиплар сони				P	R	95%CI	R	95%CI					
	2-гурух		Назорат гуруҳи											
	Г	А	Г	А										
A	6	9,2	6	0,0	,7	=0,025	,8	- 1,44	,3					
G	6	0,8	3	0,0	,7	=0,025	,3	- 7,68	,0					
A /A	0	8,5	7	5,0	0,1	= 0,01	,5	- 1,28	,1					
A / G	6	1,5	6	0,0	2,6	= 0,01	,2	- 17,15	4,4					

Оғир даражали КИда A, Галлеллар ва A/A, A/G, G/G генотиплар частотаси мос равиша қўйидагича бўлди: 19,12%, 80,88% ва 5,88%, 26,47%, 67,65%. Қизик томони, барча bemorлар орасидагомозигот G/Gмутант генотипи фақатCOVID-19 оғир формаси билан касалланган bemorлар гурухида аниқланди(10-жадвал).

10-жадвал

**Оғир даражали COVID-19 ривожланишида MTRR гени 66 A>G (rs1801394) полиморфизмининг турли аллелари ва генотипларини ахамияти.**

Аллел ва гено-типлар	Алел ва генотиплар сони				P	R	95%CI	R	95%CI
	3-гурух		Назорат гуруҳи						
Г	3	6	3	6					





p										
A	3	9,1	6	0,0	1,1	p =0,01	,2	- 0,53	,0	0,01-0,07
G	5	0,9		0,0	1,1	p =0,01	,7	0,72-30,96	8,1	14,03-103,34
A/A		,9	7	5,0	4,6	p =0,01	,1	0,01 - 0,91	,01	0 - 0,05
A/G		6,5		0,0	,1	p = 0,2	,6	1,27 - 5,54	,2	0,66 - 15,85
G/G	3	7,6		,0	0,0	p =0,01	3,5	5,31 - 34,5	9,7	7,92 - 199,36

10-жадвалда келтирилганидек, MTRR гени 66 A>G (rs1801394) полиморфизмининг аллел ва генотипларининг тарқалиш частотаси фарқлари таҳлил қилинганда, COVID-19 нинг оғир формаси ва мутант гомозигот G/G генотипи орасида кучли боғлиқлик аниқланди ( $\chi^2=20,0$ ; P=0,01) ва бу генотипнинг оғир формадаги COVID-19 ривожланишида индуцирловчи ахамияти мавжудлиги тасдиқланди (OR=39,7, 95% CI 7,92-199,36). Бошқа томондан, гомозигот ёввойи генотипи - A/A эса КИ ривожланишида кучли протектив ахамияти мавжудлиги аниқланди (OR=0,01, 95% CI 0,001-0,05,  $\chi^2=34,6$ ; P=0,01). Шуниндек, гетерозигот генотипи A/G индуцирловчи ахамияти (OR=3,2, 95% CI 0,66-15,85) статистик ахамиятли бўлмади ( $\chi^2=2,1$ ; P=0,2) (10-жадвал).

Шуниндек, биз татқиқот давомида, MTR ва MTRR генларии бўйича текширилган полиморфизмларда кузатилган турли хил генотипдаги bemorlarning gomoqisteyin kўrsatkiylarini aniqladik (11-жадвал). Унга кўра, биринчи гурухда олинган натижалар назорат гурухida кузатилган натижалардан статистик ишонарли фарқ қилмади (p>0,05). Шунга ўхшаш тарзда, иккинчи (COVID-19 ўртacha оғирликдаги формаси билан касалланганлар) гурухдаги ёввойи – гомозигот генотипли bemorlar натижалари ва назорат гурухи kўrsatkiylari орасида хам статистик ишонарли фарқ кузатilmagan bўlsa (p>0,05), учинчи гурух bemorlari натижалари назорат гурухи kўrsatkgan натижадан статистик ишончли равишda 1,7 марта ustunlik қилди (p<0,05). Бошқа томондан, иккинчи гурухдаги bemorlarida MTR гени 2756 A>G полиморфизми гетерозигот - A/G генотипи ва MTRR гени 66 A>G полиморфизми гетерозигот - A/G генотипли bemorlariда кузatilgan gomoqisteyin натижалари шу полиморфизmda tekshirilgan назорат гурухи tekshiriuvchilariida olinGAN натижалардан mos равишda, taxminan 3,2 марта hamda 2,7 марта yuqori bўlgan bўlsa (p<0,05), учинчи гурух kўrsatkiylari назорат гуруxnikidan mos равишda, taxminan 3,43 ва 2,2 марта kўp bўldi (p<0,05). Бошқа томондан, turli xil genotipga ega bemorlarda plazma gomoqisteyin koncentrasiyasini uzaro





солишириб кўрилганида, иккинчи ва учинчи гурухлардаги MTR гени A2756G полиморфизми бўйича гетерозигот A/G генотипли bemorlar натижаси, шу гурухлардаги ёввойи гомозигот A/A генотипли bemorlar кўрсатган натижасидан, мос равишда 2 ва 2,01 марта кўплиги аниқланди. Шунинdek, иккинчи гурухда MTRR гени A66G полиморфизмida эса гетерозигот A/G генотипли bemorlar натижаси, ёввойи гомозигот A/A генотипли bemorlar кўrсатган натижасидан тахминан 2,2 марта кўплиги аниқланган бўлса, учинчи гурухда бу кўраткич 1,9 марта устунлиги тасдиқланди. Ва нихоят, учинчи гурухдаги MTR ва MTRR генлари бўйича гомозигот ноёввойи генотипли bemorlarдаги гомоцистеин концентрацияси, шу гурухдаги гомозигот ёввойи генотипли bemorlar гомоцистеин миқдоридан, мос равишда 2,6 ва 2,7 марта ортиклиги аниқланди (11-жадвалга қаралсин). Барча келтирилган солиширишлар статистик ишончли деб топилди ( $p<0,05$ ).

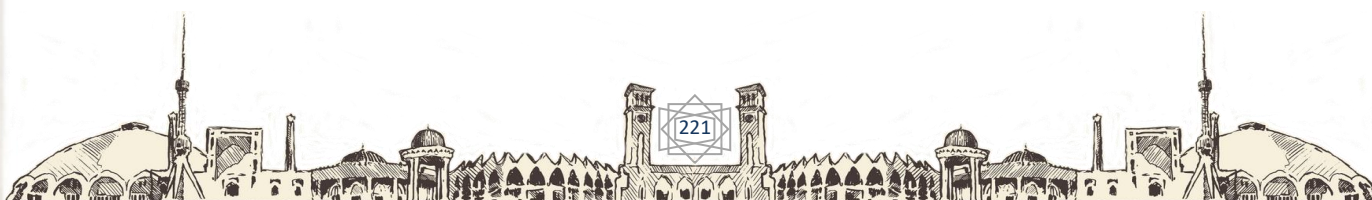
### 11-жадвал

#### MTR гени 2756 A>G ва MTRR 66 A>G полиморфизмларидағи турли генотипларда гомоцистеин (мкмоль/л) бўйича олинган натижалар

Гурухлар	MTR 2756 A>G			MTRR 66 A>G		
	A/A	A/G	G/G	A/A	A/G	G/G
Биринчи Гурух	5,2±0,4	-	-	5,1±0,7	-	-
Иккинчи Гурух	7,9±1,9	15,9±1,2 <sup>ab</sup>	-	5,8±1,3	12,8±1,4 <sup>ab</sup>	-
Учинчи Гурух	8,7±1,14 <sup>a</sup>	17,5±1,1 <sup>ab</sup>	22,5±3,2 <sup>ab</sup>	5,5±0,7	10,7±1,2 <sup>ab</sup>	14,7±1,31 <sup>abc</sup>
Назорат	5,1±0,7	-	-	4,79±1,1	5,76±0,9	-
Гурухи						

Кўрсатма: a - назорат гурухига нисбатан статистик ишончлилик –  $p<0,05$ ;

b - шу полиморфизмдаги хамда шу гурухдаги, ёввойи гомозигот генотипли bemorlar кўrсатган кўrсаткичга нисбатан статистик ишончлилик –  $p<0,05$ , c - шу полиморфизмдаги хамда шу гурухдаги, гетерозигот генотип bemorlari кўrсатган кўrсаткичга нисбатан статистик ишончлилик –  $p<0,05$ . “-” белгиси мавжудлиги шу гурухда кўrсатилган генотипли bemorlar учрамаганалиги ёки





статистик ишончлилик хақида хулоса чиқариш учун етарли сонда учрамаганлигини билдиради.

**Мухокамаси.**МТР – метионин синтаза юқорида айтилганидек, фолат цикли, метионин синтези ва плазмадаги гомоцистеин миқдорини адекват миқдорда сақланашыда мухим ахамиятга эга. МТР гени 1q43 локусда жойлашган бўлиб, rs1805087 полиморфизми натижасида 2756 локусдаги А нуклеотиди G га алмашиши натижасида, фермент кетма-кетлигидаги аспартат глицинга ўтади, шу орқали оқсил структураси ўзгаради ва бу эса фермент фаолиятини камайишига сабаб бўлади [12, 13, 14]. Натижада, 5-метилтетрагидрофолатдан метил гурухини гомоцистеинга ўтказиб метионин синтезлаш функцияси камаяди. Бу эса, фолат циклини бузилишига ва гипергомоцистениемияга сабаб бўлиши мумкин.

11-жадвалда келтирилганидек, МТР гени A2756G полиморфизми бўйича, мутант аллел тутган bemorlarда ёввойи гомозигот генотипли bemorlarга нисбатан гомоцистеин миқдори ишонарли равища юқори бўлиб гипергомоцистениемия ( $>15$  мкмоль/л) даражасига етди. Бу эса МТР гени фолат циклида ва гомоцистеин реметилланишида мухим ахамият касб этишини биз кузатган натижалар хам тасдиқлади.

Шунга ўхшашиб натижани, яъни МТР гени A2756G полиморфизми ва гипергомоцистеин орасида мусбат боғланиш мавжудлиги Абделила Лараки ва унинг хамкаслари [11] ва Биселли Ж. Ва унинг хамкаслари амалга оширган тадқиқот орқали хам аниқланди.

Шуниндек, MTRR гени экспрессияловчи метионин синтаза редуктаза ферменти, метионин синтаза (MTR) ферментини кофактори бўлган коболаминни актив холатини сақлашда мухим ахамиятга эга. Маълумки, коболамин метионин синтаза томонидан гомоцистеинни реметиллаштириш жараёнидан 5-метилтетрагидрофолатдан метил гурухни олиб гомоцистеин узатувчи ўта мухим оралиқ модда хисобланади. Шу сабабли, коболамин реакцидаги холатига қараб эркин коб(I)аламин ва метиллашган коб(III)аламин кўринишада бўлади. Аммо, коб(I)аламин оксидланишга кучли мойилликга эга бўлган сабабли, оксидлвочилар таъсирида инактив холатга - коб(II)аламинайланиши мумкин. Бу холатда, MTR ферментининг фаолияти хам инактивацияланади. Бу холатда. метионин синтаза редуктаза ферменти эса, S-аденозилметиониндан, метил гурухни олиб инактив холатдаги коб(II)аламинни актив метиллашган коб(III)аламин айлантира олади ва шу орқали плазмадаги гомоцистеин концентрациясини сақланашыда мухим ахамиятга эга[10, 11].

11-жадвалда келтирилганидек, гарчи, MTRR гени 66 A>G полиморфизмида G аллелини тутган bemorlar, хусусан, гетерозигот A/G ва гомозигот G/G генотипларли bemorlarда гомоцистеин миқдори нормал ёввойи гомозигот





генотипди беморлар ва назорат гурухи текширувчиларида кузатилган натижадан сезиларли устунлик қиласа, унинг миқдори гипергомоцистеинемия ( $>15$  мкмоль/л) даражасига етмади. Шуниндеқ, қизик томони, назорат гурухидаги минор аллел тутган текшириувчиларда, гомоцистеин миқдори ёввойи гомозигот гурухли беморларга нисбатан ишончли фарқ қиласа, аммо бундай фарқ COVID-19 билан касалланганларда кузатилди (11-жадвал). Бизнинг фикримизча, бунинг сабаби MTRR гени rs1801394 полиморфизмидаги минор аллел тутувчи индивидларда юзага келган фолат цикли дефицитига бўлган мойиллик, нормал шароитда компенсацияланиб туриши натижасида ўзгариш юзага келмайди. Бошқа томондан, COVID-19 хасталиги мавжуд ва MTRR гени rs1801394 полиморфизмидаги минор аллели тутувчи беморлар, фолат кислотасин дефицитига айниқса сезир бўлиб, унинг ўзлаштирилишини нисбатан камайиши, бундай беморларда фолат цикли дефицити (масалан, гомоцистеин миқдорини ошиши) белгиларини сезиларлироқ ва/ёки тезроқ намоён бўлишига сабаб бўлиши мумкин. COVID-19 патогенезида қандай сабабларга кўра, фолат кислота дефицити юзага келиши мумкин? Биз амалга оширган мета-анализ натижасига кўра, COVID-19 патогенезида витамин D синтезини камайиши, у бошқарилишда иштирок этувчи PCFT транскрипциясини бузилишига сабаб бўлади ва шу орқали фолат кислотаси сўрилишининисбатан камайиши юзага келади [26, 27]. Ёки бошқа бир тушунириш - беморларга нотўғри диета қўлланилиши фолат кислотаси ўзлаштирилишини нисбатан камайишига сабаб бўлиши мумкин [28, 29].

Шуниндеқ, текширилган генлар полиморфизмлари натижасига кўра, COVID-19 хасталигининг ўрта оғир ва оғир формали билан касалланган беморларда иккала геннинг хам мутант аллел учраш частотаси назорат гурухи ва енгил формадаги COVID-19 билан касалланганларнидан жиддий фарқ қиласа. Бу эса, MTR гени rs1805087 полиморфизмидаги MTRR гени rs1801394 полиморфизмидаги минор аллелини тутувчи беморларда COVID-19 ўрта оғир ва оғир формалари юзага келишига мойиллик мавжудлигини билдиради.

Бунинг сабаби, бизнинг фикримизча, гомоцистеин миқдорини ошиши натижасида унинг эндотелиал тизимида токсик таъсири сабабли, шуниндеқ, COVID-19 патогенезида цитокинли гиперпродукцияси бу жараёнда кобормид тарзда таъсир кўрсатиб, беморларда тизмили яллиғланиш жараёни оғирроқ кечишига сабаб бўлиши мумкин. Мутант аллел тутувчи беморларда метилтетрагидрофолат редуктаза ферментини фаоллиги паст бўлиши натижасида, COVID-19 билан касалланган беморларда бу касалликнинг ўртача ёки оғир формада ўтишига мойилликни яратиши мумкин.

Хулоса қилиб шуни айтиш мумкинки, COVID-19 патогенезини енгил даражаси ривожланишида тромбофилия хафвани туғдирувчи генлар полиморфизмлари, хусусан MTRR A66G (rs1801394) ва MTR A2756G (rs 1805087)





ларнинг аллелари ва генотилари химоявий-протектив ёки индуцирловчи аҳамияти мавжудлиги тасдиқланмади.

Ўрта оғир даражали COVID-19 да MTRR гени A66G (rs1801394) полиморфизми гетерозигот A/G генотипи учраши ишончли даражада юқори эканлиги аниқланди ва бу генотипларнинг ўрта оғир даражадаги КИда индуцирловчи таъсири мавжудлиги аниқланди ва MTRR гени A66G полиморфизми A/A генотиплари ўрта оғир даражали COVID-19 ривожланишида протектив аҳамияти мавжудлиги аниқланди. Бошқа томондан, MTR 2756 A>G (rs1805087) гени полиморфизми гетерозигот генотипи учраши орасида эса статистик аҳамиятли боғлиқлик аниқланмади, аммо A/A генотипи касаллик ривожланишида химоявий функция бажаражи статистик ишончли деб топилди.

Оғир даражали COVID-19 да MTRR гени A66G (rs1801394) полиморфизми гетерозигот A/G генотипи учраши ишончли даражада юқори эканлиги аниқланди ва бу генотипларнинг ўрта оғир даражадаги COVID-19 да индуцирловчи таъсири мавжудлиги аниқланди ва MTRR гени A66G полиморфизми A/A генотиплари ўрта оғир даражали COVID-19 ривожланишида протектив аҳамияти мавжудлиги аниқланди. Бошқа томондан, MTR 2756 гени A>G (rs1805087) полиморфизми гетерозигот генотипи учраши орасида эса статистик аҳамиятли боғлиқлик аниқланмади, аммо A/A генотипи касаллик ривожланишида химоявий функция бажаражи статистик ишончли деб топилди. Шуниндек, MTRR гени rs1801394 полиморфизмнинг G/G генотипи КИ оғир формаси ривожланишида статистик ишонарли хавф омили эканлиги тасдиқланди.

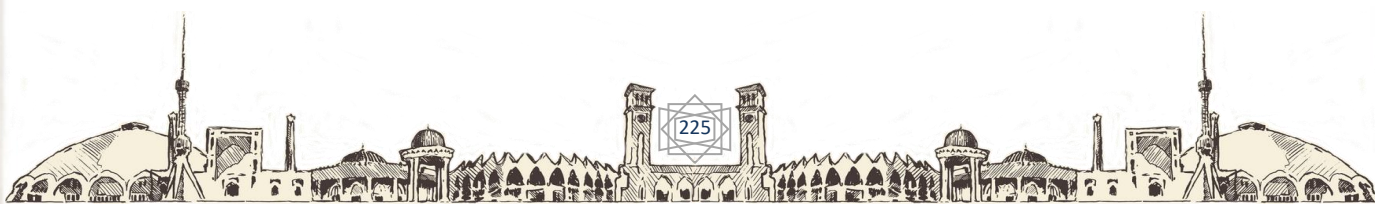
### ФОЙДАЛАНИЛГАН АДАБИЁТЛАР:

1. Brandalize AP, Bandinelli E, Borba JB, Félix TM, Roisenberg I, Schüler-Faccini L. Polymorphisms in genes MTHFR, MTR and MTRR are not risk factors for cleft lip/palate in South Brazil. *Braz J Med Biol Res.* 2007 Jun;40(6):787-91. doi: 10.1590/s0100-879x2006005000112. PMID: 17581676.
2. Armando D'Angelo, Jacob Selhub; Homocysteine and Thrombotic Disease. *Blood* 1997; 90 (1): 1-11. doi: <https://doi.org/10.1182/blood.V90.1.1>.
3. Vidmar Golja M, Šmid A, Karas Kuželički N, Trontelj J, Geršak K, Mlinarič-Raščan I. Folate Insufficiency Due to MTHFR Deficiency Is Bypassed by 5-Methyltetrahydrofolate. *J Clin Med.* 2020 Sep 2;9(9):2836. doi: 10.3390/jcm9092836. PMID: 32887268; PMCID: PMC7564482.
4. Zheng Y, Cantley LC. Toward a better understanding of folate metabolism in health and disease. *J Exp Med.* 2019 Feb 4;216(2):253-266. doi: 10.1084/jem.20181965. Epub 2018 Dec 26. PMID: 30587505; PMCID: PMC6363433.
5. Lu H, Stratton CW, Tang YW. Outbreak of pneumonia of unknown etiology in Wuhan, China: the mystery and the miracle // *J. Med. Virol.-2020.-№92(4).-B.401-402*





6. Zhu N.*et al.*, 'A Novel Coronavirus from Patients with Pneumonia in China, 2019', *N. Engl. J. Med.*, vol. 382, no. 8, pp. 727–733, Feb. 2020, doi: 10.1056/NEJMoa2001017
7. Lu R., Zhao X., Li J. et al. Genomic characterisation and epidemiology of 2019 novel coronavirus: implications for virus origins and receptor binding. *Lancet.* 2020;395(10224):565-574; doi: 10.1016/S0140-6736(20)30251-8
8. Fu Y, Cheng Y, Wu Y. Understanding SARS-CoV-2-Mediated Inflammatory Responses: From Mechanisms to Potential Therapeutic Tools. *Virol Sin.* 2020;35(3):266-271. doi:10.1007/s12250-020-00207-4
9. Savla SR, Prabhavalkar KS, Bhatt LK. Cytokine storm associated coagulation complications in COVID-19 patients: Pathogenesis and Management. *Expert Rev Anti Infect Ther.* 2021;19(11):1397-1413. doi:10.1080/14787210.2021.1915129.
10. Ludwig ML, Matthews RG. Structure-based perspectives on B12-dependent enzymes. *Annu Rev Biochem* 1997; 66: 269-313.
11. Laraqui A, Allami A, Carrié A, Coiffard AS, Benkouka F, Benjouad A, Bendriss A, Kadiri N, Bennouar N, Benomar A, Guedira A, Raisonnier A, Fellati S, Srairi JE, Benomar M. Influence of methionine synthase (A2756G) and methionine synthase reductase (A66G) polymorphisms on plasma homocysteine levels and relation to risk of coronary artery disease. *Acta Cardiol.* 2006 Feb;61(1):51-61. doi: 10.2143/AC.61.1.2005140. PMID: 16485733.
12. Chen J., Stampfer M.J., Ma J., Selhub J., Malinow M.R., HennekensC.H.. et al. (2001) Influence of a methionine synthase (D919G) polymorphism on plasma homocysteine and folate levels and relation to risk of myocardial infarction. *Atherosclerosis* 154, 667–672 10.1016/S0021-9150(00)00469-X
13. Ma LM, Yang HP, Yang XW, Ruan LH. Methionine synthase A2756G polymorphism influences pediatric acute lymphoblastic leukemia risk: a meta-analysis. *Biosci Rep.* 2019 Jan 15;39(1):BSR20181770. doi: 10.1042/BSR20181770. PMID: 30559146; PMCID: PMC6331679.
14. Al Farra HY. Methionine synthase polymorphisms (MTR 2756 A>G and MTR 2758 C>G) frequencies and distribution in the Jordanian population and their correlation with neural tube defects in the population of the northern part of Jordan. *Indian J HumGenet.* 2010 Sep;16(3):138-43. doi: 10.4103/0971-6866.73405. PMID: 21206701; PMCID: PMC3009424.
15. Hobbs C.A., Sherman S.L., Yi P., Hopkins S.E., Torfs C.P., Hine R.J., Pogribna M., Rozen R., James S.J. Polymorphisms in Genes Involved in Folate Metabolism as Maternal Risk Factors for Down syndrome // *Am. J.Hum.Genet.* 2000. Vol.67, №3. P.623-630. doi:10.1086/3030550hhrvikVE.
16. Susan J. Duthie, Sabrina Narayanan, Gillian M. Brand, Lynn Pirie, George Grant, Impact of Folate Deficiency on DNA Stability, *The Journal of Nutrition*, Volume 132, Issue 8, August 2002, Pages 2444S–2449S, <https://doi.org/10.1093/jn/132.8.2444S>





17. Miller AL. The methylation, neurotransmitter, and antioxidant connections between folate and depression. *Altern Med Rev.* 2008 Sep;13(3):216-26. PMID: 18950248.

18. Kronenberg G, Harms C, Sobol RW, Cardozo-Pelaez F, Linhart H, Winter B, Balkaya M, Gertz K, Gay SB, Cox D, Eckart S, Ahmadi M, Juckel G, Kempermann G, Hellweg R, Sohr R, Hörtnagl H, Wilson SH, Jaenisch R, Endres M. Folate deficiency induces neurodegeneration and brain dysfunction in mice lacking uracil DNA glycosylase. *J Neurosci.* 2008 Jul 9;28(28):7219-30. doi: 10.1523/JNEUROSCI.0940-08.2008. PMID: 18614692; PMCID: PMC3844834.

19. Diane M. Ward, Opal S. et al. Altered sterol metabolism in budding yeast affects mitochondrial iron-sulfur (Fe-S) cluster synthesis Received for publication, January 5, 2018, and in revised form, May 11, 2018. DOI 10.1074/jbc.RA118.001781 Cox 2018 Ward et al. Published under exclusive license by The American Society for Biochemistry and Molecular Biology, Inc.

20. Shi S, Qin M, Shen B, et al. Association of Cardiac Injury With Mortality in Hospitalized Patients With COVID-19 in Wuhan, China [published online ahead of print, 2020 Mar 25]. *JAMA Cardiol.* 2020;e200950. doi:[10.1001/jamacardio.2020.0950](https://doi.org/10.1001/jamacardio.2020.0950).

21. Фетисова И.Н. Полиморфизм генов фолатногоцикла и болезни человека // Вестник Ивановской медицинской академии. 2006. Т.11, №1-2. С.77–82

22. Доброхотова Ю.Э., Джобава Э.М., Аминтаева Л.А., Алиева А.Н., Артизанова А.П., Болкунова Н.В. Эндотелиальная дисфункция: гомоцистеин и оксид азота у беременных групп высокого риска. Современные подходы к терапии. Роль фолиевой кислоты//Проблемы репродукции. 2010. Т.16, №6. С.98–103

23. Yakub M, Moti N, Parveen S, Chaudhry B, Azam I, Iqbal MP. Polymorphisms in MTHFR, MS and CBS genes and homocysteine levels in a Pakistani population. *PLoS One.* 2012;7(3):e33222. doi: 10.1371/journal.pone.0033222. Epub 2012 Mar 21. PMID: 22470444; PMCID: PMC3310006.

24. Caccamo D, Gorgone G, Currò M, Parisi G, Di Iorio W, Menichetti C, Belcastro V, Parnetti L, Rossi A, Pisani F, Lentile R, Calabresi P. Effect of MTHFR polymorphisms on hyperhomocysteinemia in levodopa-treated Parkinsonian patients. *Neuromolecular Med.* 2007;9(3):249-54. doi: 10.1007/s12017-007-8006-x. PMID: 17914182.

25. Lucock M. Folic Acid: Nutritional Biochemistry, Molecular Biology, and Role in Disease Processes. *Mol. Genet. Metab.* 2000;71:121–138. doi: 10.1006/mgme.2000.3027.

26. Eloranta J.J., Zaïr Z.M., Hiller C., Häusler S., Stieger B., Kullak-Ublick G.A. Vitamin D3 and its nuclear receptor increase the expression and activity of the human proton-coupled folate transporter. *Mol. Pharmacol.* 2009;76:1062–1071. doi: 10.1124/mol.109.055392.

27. Gropper S.S., Smith J.L. *Advanced Nutrition and Human Metabolism.* 7th ed. Cengage Learning; Belmont, CA, USA: 2017.





28. Ikizler T.A. A Patient with CKD and Poor Nutritional Status. *Clin. J. Am. Soc. Nephrol.* 2013;8:2174–2182. doi: 10.2215/CJN.04630513.

29. Meisel E, Efros O, Bleier J, Beit Halevi T, Segal G, Rahav G, Leibowitz A, Grossman E. Folate Levels in Patients Hospitalized with Coronavirus Disease 2019. *Nutrients.* 2021 Mar 2;13(3):812. doi: 10.3390/nu13030812. PMID: 33801194; PMCID: PMC8001221.

